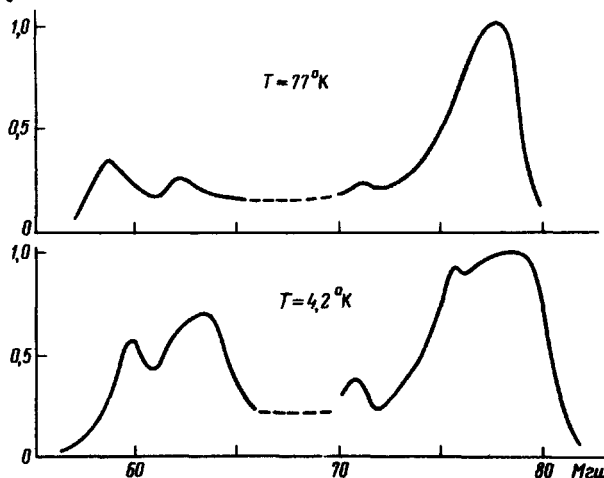


ЯДЕРНОЕ ЭХО В ПРОЗРАЧНОМ АНТИФЕРРОМАГНЕТИКЕ  $\text{FeF}_3$ ,

М. П. Петров, А. П. Пауэрт, Г. А. Смоленский

Трифторид железа  $\text{FeF}_3$  является антиферромагнетиком, обладающим слабым ферромагнитным моментом [1, 2]. Кристалл принадлежит пространственной группе  $R\bar{3}C$ , в элементарной химической ячейке содержится две молекулярные единицы, химическая и магнитная ячейка совпадают [3]. Ионы железа находятся в несколько искаженных октаэдрах, образованных ионами фтора. Температура Нееля лежит вблизи  $362 - 363^\circ\text{K}$  [4, 5]. Монокристаллы  $\text{FeF}_3$  прозрачны в видимой части спектра [6].



Зависимость интенсивности ядерного эха  $\text{F}^{19}$  от частоты в  $\text{FeF}_3$  в нулевом магнитном поле для температуры жидкого азота и жидкого гелия

В настоящей работе приводится первое сообщение об исследовании ядерного магнитного резонанса в  $\text{FeF}_3$ . Образец представлял собой набор мелких ( $\sim 0,1 \text{ мкм}$ ) монокристаллов общим объемом  $\sim 0,5 \text{ см}^3$ . Образцы были приготовлены Т.Г.Петровым и сотрудниками в Лен. Гос. Университете им. А.А.Жданова по нашему заказу в рамках договорной работы.

По своим магнитным свойствам  $\text{FeF}_3$  весьма схож с  $\text{FeBO}_3$  [6]. Оба эти соединения являются слабыми ферромагнетиками с анизотропией типа "легкая плоскость". Магнитные моменты подрешеток лежат в базисной плоскости перпендикулярной тройной оси.

Учитывая сходство магнитных свойств мы ожидали обнаружить сигнал ядерного эха от ядер  $\text{Fe}^{57}$ , аналогичный сигналу который мы наблюдали в  $\text{FeBO}_3$  [7], т. е. весьма узкую и интенсивную линию ЯМР в диапазоне от 45 до  $80 \text{ МГц}$  при температуре от комнатной до  $4,2^\circ\text{K}$ . Действительно при  $T = 291^\circ\text{K}$  был обнаружен довольно интенсивный сигнал эха с узкой ( $< 100 \text{ кГц}$ ) шириной линии, на частоте  $55,7 \text{ МГц}$ .

Естественно, отнести этот сигнал за счет ядер  $\text{Fe}^{57}$ . Такое предположение согласуется и с данными по эффекту Мессбауэра [5]. Ло-

кальное магнитное поле, соответствующее частоте ЯМР  $55,7 \text{ МГц}$  для  $\text{Fe}^{57}$  составляет  $404,2 \text{ кэ}$ . Эта цифра близка к значению поля  $415 \text{ кэ}$ , которое можно определить по данным работы [5]. Однако при понижении температуры мы обнаружили новый весьма неожиданный спектр эха, вид которого для двух температур приведен на рисунке.

Как видно из рисунка спектр простирается в диапазоне  $55 + 80 \text{ МГц}$ . (Данные в интервале  $70 - 75 \text{ МГц}$  показаны пунктиром так как измерения проводились в условиях радиопомех). Были проведены измерения интенсивности и формы спектра в зависимости от внешнего магнитного поля для  $T = 77^\circ\text{K}$ . При наложении внешнего поля сигнал значительно уменьшился по интенсивности и при значении поля  $2,5 + 3 \text{ кэ}$  наблюдать эхо на осциллографе уже было невозможно. С увеличением поля происходит изменение формы и расширение спектра. Края спектра расширяются со скоростью  $1,5 \text{ кГц/кэ}$ .

Кроме исследований в магнитном поле проведены измерения ядерной релаксации, результаты которых даны в таблице.

$T, ^\circ\text{K}$	$f, \text{МГц}$	$T_1, \text{сек}$	$T_2, \text{мсек}$	Ядро
4,2	75,0	10,000	1,00	$\text{F}^{19}$
	64,0	1,000	0,25	
77,0	75,0	0,004	0,10	$\text{F}^{19}$
	64,0	0,003	0,15	
291,0	55,7	-	0,08	$\text{Fe}^{57}$

Мы полагаем, что наблюдаемые спектры эха при низких температурах относятся к ядрам  $\text{F}^{19}$ , а не к ядрам  $\text{Fe}^{57}$ . Основания для этого следующие. Во-первых, если допустить, что спектр принадлежит ядрам железа, то не удается объяснить ширину спектра. Ионы железа занимают кристаллографически эквивалентные позиции, поэтому нет оснований для появления нескольких линий ЯМР, а считать, что одна линия ЯМР  $\text{Fe}^{57}$  занимает диапазон в  $30 \text{ МГц}$  нереально, так как этот интервал значительно превосходит ширины одиночных линий ЯМР железа в известных до сих пор экспериментах. Заметим, что в то же время при высоких (комнатных) температурах сигнал эха полностью соответствует типичным параметрам ЯМР  $\text{Fe}^{57}$ .

Во-вторых, интегральная интенсивность сигнала слишком велика, чтобы ее можно было бы отнести за счет ядер  $\text{Fe}^{57}$ , имеющих естественную концентрацию изотопа всего  $2,2\%$ .

И в-третьих, поведение ширины спектра во внешнем магнитном поле. Смещение линий ЯМР железа от внешнего поля не может происходить быстрее чем  $137,8 \text{ Гц/кэ}$ , так как именно этой величине равно гиромагнитное отношение для  $\text{Fe}^{57}$ , а экспериментально наблюдаемые сдвиги краев линии имеют скорость  $1500 \text{ Гц/кэ}$ .

В то же время все эти факторы легко объясняются, если принять, что сигнал происходит от ядер фтора. Большая интенсивность сигнала характерна для ядер фтора, имеющих 100-процентное содержание

изотопа  $F^{19}$  и обладающих большим гиromагнитным отношением ( $4\kappa_1\mu/\epsilon$ ). Наблюдаемая ширина линии легко объясняется тем, что все шесть ионов фтора в ячейке занимают магнитно незквивалентные позиции и, следовательно, в общем случае в магнитном поле спектр представляет собой суперпозицию шести линий ЯМР. Кроме того для фтора характерно наличие дипольного и анизотропного сверхтонкого взаимодействия [8], что в поликристалле, а так же при наличии доменной структуры дает значительное уширение.

И последнее, смещение краев линий спектра для фтора может происходить со скоростью, достигающей  $4\kappa_1\mu/\epsilon$ , что не противоречит эксперименту. Меньшая скорость смещения вполне возможна, если локальное сверхтонкое поле направлено под углом к внешнему полю  $H_o$ .

Локальные поля на ядрах фтора лежат в пределах от 13 до  $20\text{ кз}$  при  $4,2^\circ\text{K}$ .

Присутствие больших локальных полей на ядрах фтора однозначно указывает на раскомпенсацию электронных оболочек иона  $F^-$ , т. е. на перенос спиновой плотности от ионов  $Fe^{3+}$  к ионам  $F^-$ . Коэффициент усиления радиочастотного поля [8] для  $F^{19}$   $\eta \approx 10^3$  при  $77^\circ\text{K}$ , а для ядер  $Fe^{57}$   $\eta \approx 10^4$  при  $291^\circ\text{K}$ .

Обращает на себя внимание сильная зависимость времени попечечной релаксации ( $T_2$ ) от температуры для эха фтора. Эта зависимость позволяет объяснить почему не наблюдается сигнал от фтора при комнатных температурах. По-видимому, при высоких температурах попечечная релаксация происходит настолько быстро, что наблюдать эхо при допустимых в нашей аппаратуре задержках между импульсами порядка  $(30 \div 40) \cdot 10^{-6}$  сек не удается. В то же время эти условия приемлемы для наблюдения одиночного сигнала от  $Fe^{57}$ . При низких температурах наблюдению сигнала от железа мешает мощный сигнал фтора, находящийся в том же диапазоне частот.

Физико-технический институт  
им. А.Ф.Иоффе  
Академии наук СССР

Поступила в редакцию  
1 февраля 1972 г.

### Литература

- [1] T.Moriya. Phys. Rev., **120**, 91, 1960.
- [2] E.O.Wollan, H.R.Child, W.C.Koehler, M.K.Wilkinson. Phys. Rev., **112**, 1132, 1958.
- [3] M.A.Hepworth, K.H.Jack, R.D.Peacock, G.T.Westland. Acta crystallogr., **10**, 63, 1957.
- [4] L.M.Levinson. J. Phys. Chem. Solids, **29**, 1331, 1968.
- [5] G.K.Wertheim, H.J.Guggenheim, D.N.E.Buchanan Phys. Rev., **169**, 465, 1968.
- [6] R.Wolf, A.J.Kurtzig, R.C.Le Craw. **41**, 1218, 1970.
- [7] M.P.Petrov, A.P.Paugurt, G.A.Smolensky. Phys. Lett., **36A**, 44, 1971
- [8] Е.А. Туров, М.П.Петров. "Ядерный магнитный резонанс в ферро- и антиферромагнетиках" М., Изд. Наука, 1969.